



## Dal 2D al 3D

Alberto Borghese  
Department of Computer Science  
University of Milano  
<http://homes.dsi.unimi.it/MAVR.html>  
[borgnese@dsi.unimi.it](mailto:borgnese@dsi.unimi.it)



## Ricostruzione 3D

*E' il problema fondamentale della Visione e della Grafica 3D*

Argomenti:

- *Processo di formazione di un' immagine su fotocamera/videocamera.*
- *Descrizione del processo mediante trasformazione prospettica.*
- *Ricostruzione della posizione di 3D di punti della scena a partire dalla loro immagine su fotocalere/videocalere.*
- Calibrazione delle camere.
- Errori sistematici introdotti dall'ottica (distorsioni).
- Correzione delle distorsioni (linearizzazione delle camere).



## Dal 3D al 2D al 3D



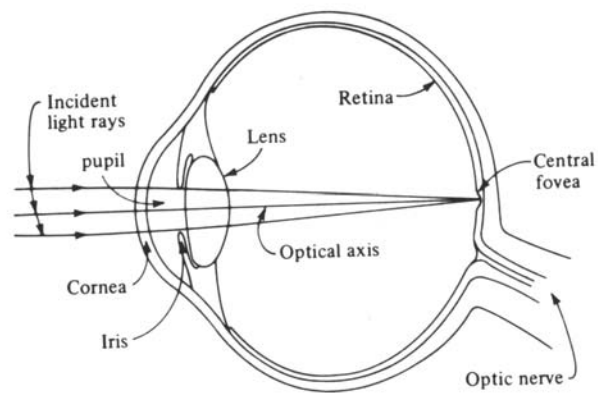
Come si forma un'immagine?

- Scena con oggetti riflettenti.
- Sorgente di illuminazione
- Piano di rilevazione della luce riflessa.

Il motore di questa trasformazione è la **proiezione prospettica**.

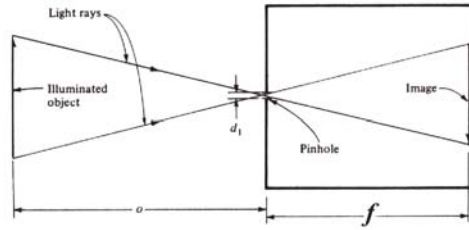


## L'occhio umano

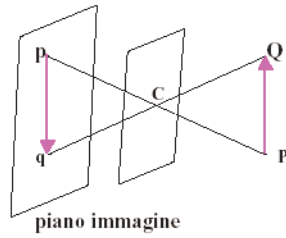




## La pin-hole camera



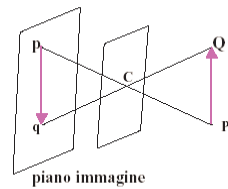
**Proiezione prospettica:**  
tutti i raggi di proiezione  
passano per un unico punto,  
detto **centro di proiezione**.



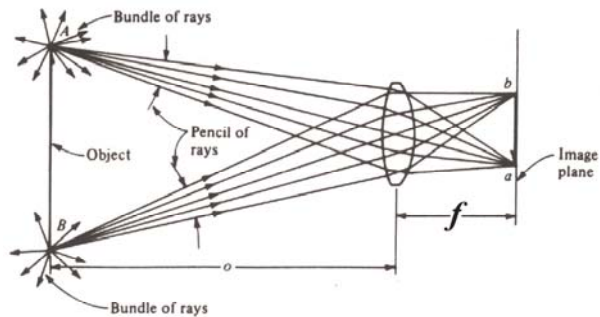
Pinhole camera



## La lente



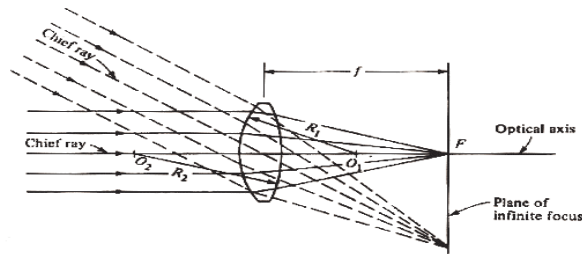
Pinhole camera



Lente convergente



## Geometria dell'ottica



Oggetti all'infinito

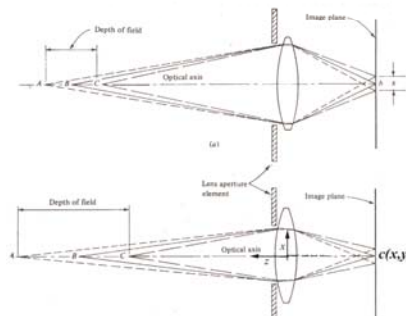
- Distanza focale: distanza del piano immagine quando un oggetto si trova all'infinito.
- Asse ottico: raggio che non viene deviato dalla lente.



## Messa a fuoco



Problema della messa a fuoco

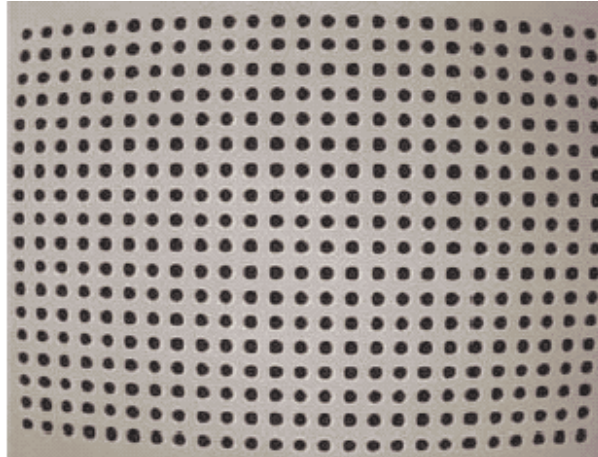


**Parametri di camera (o intrinseci):**

- Punto principale  $c(x,y)$  + lunghezza focale,  $f$  (3 parametri).
- Occorre conoscere anche il fattore di forma dei pixel nel caso di immagini digitali (è una costante, non un parametro).
- (Distorsioni).



## Distorsioni



Ottime per effetti speciali, un po' meno per delle misure.....



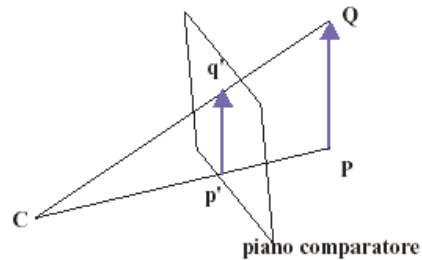
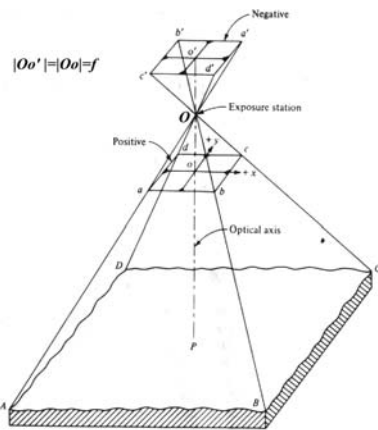
## Trasformazioni



Trasformo  $P$  in  $P'$   
Cambia il sistema di riferimento  
Cambia la posizione del punto



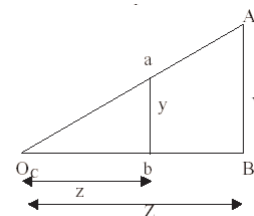
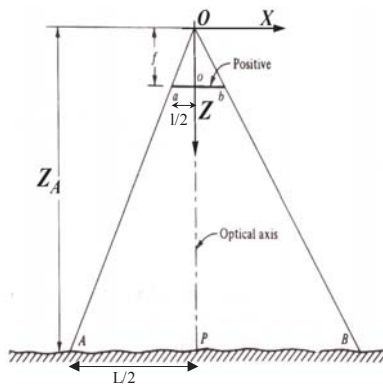
## Raddrizzamento dell'immagine



Si considera un piano posto davanti al centro di proiezione (si ottiene scendendo l'immagine dall'angolo dx in basso).



## Raddrizzamento dell'immagine



Per similitudine fra i triangoli  $aO_c b$  e  $AO_c B$ :  $z : Z = y : Y$

da cui:

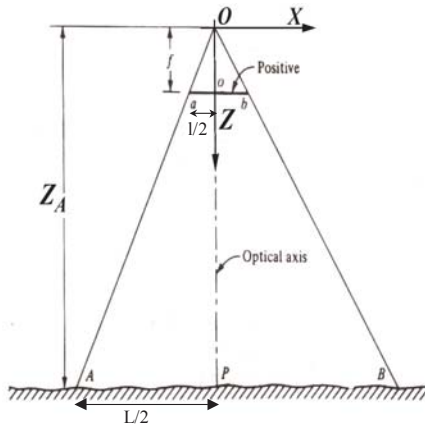
$$y = z \cdot \frac{Y}{Z} = -f \cdot \frac{Y}{Z}$$

e analogamente:

$$x = z \cdot \frac{X}{Z} = -f \cdot \frac{X}{Z}$$

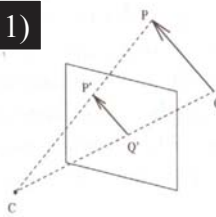


# Proiezione semplice

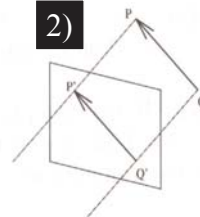


$$a(x_a; y_a; z_a) \rightarrow \begin{aligned} x_a - x_o &= X_A f / Z_A \\ y_a - y_o &= Y_A f / Z_A \\ z_a &= f \end{aligned}$$

1)



2)



ABO e abO sono triangoli simili: 1)  $x_a$  dipende da  $X_A$  e  $Z_A$ , e da  $f$  e  $x_p$ .  
 $ab = AB f / Z_A$  2)  $x_a$  non dipende da  $Z_A$ , ma solo da  $X_A$   
 $f : Z_A = x_a : X_A$

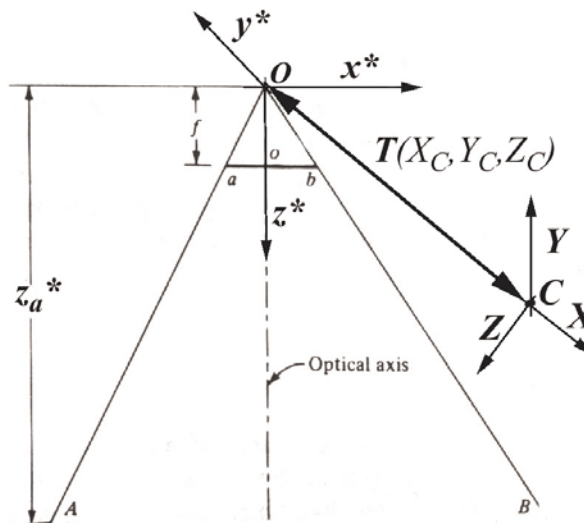


# I parametri esterni



- **Traslazione:**  
3 componenti:  
 $T(X_C, Y_C, Z_C)$ .

- **Rotazione**  
 $R_{3 \times 3}(\omega, \phi, k)$



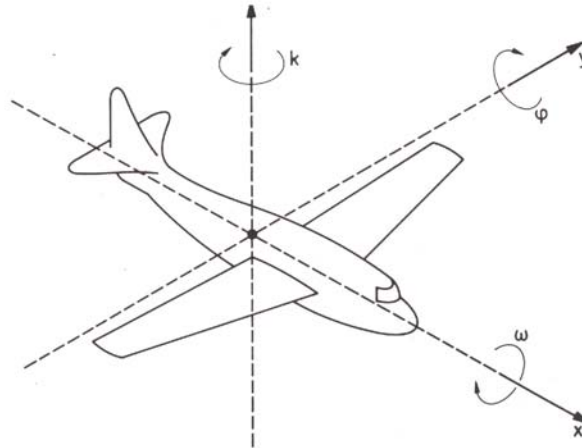


## Angoli di orientamento nello spazio 3D



Modo generale: roll, pitch, e yaw.  
( $\omega$ ,  $\phi$ ,  $k$ ): rollio, beccheggio e deriva.

Sono 3 rotazioni sequenziali,  
non commutative.



## Rotazioni

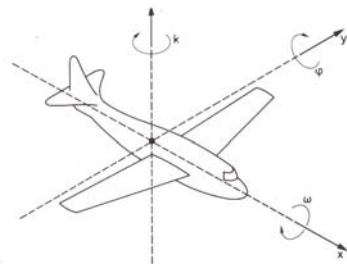


Modo generale: roll, pitch, e yaw.  
( $\omega$ ,  $\phi$ ,  $k$ ): rollio, beccheggio e deriva.

$$R_{\omega} = \begin{bmatrix} 1 & 0 & 0 \\ 0 & \cos \omega & \sin \omega \\ 0 & -\sin \omega & \cos \omega \end{bmatrix}$$

$$R_{\phi} = \begin{bmatrix} \cos \phi & 0 & \sin \phi \\ 0 & 1 & 0 \\ -\sin \phi & 0 & \cos \phi \end{bmatrix}$$

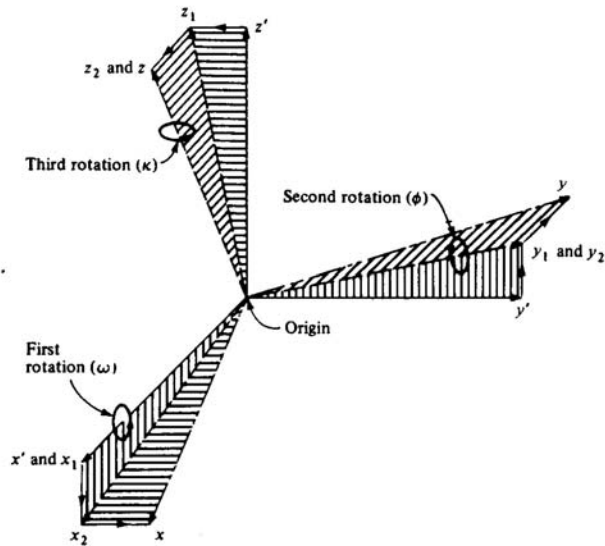
$$R_k = \begin{bmatrix} \cos k & \sin k & 0 \\ -\sin k & \cos k & 0 \\ 0 & 0 & 1 \end{bmatrix}$$







## Rotazioni sequenziali



Ciascuna rotazione avviene su uno dei piani coordinati.

By N.A. Borghese Università di Milano 19/03/2003

<http://homes.dsi.unimi.it/~borghese> 17/58



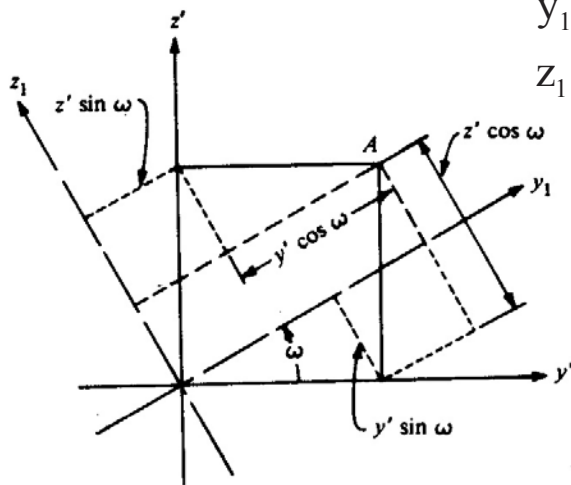
## I) Rotazione attorno all'asse x (roll)



$$x_1 = x$$

$$y_1 = y' \cos \omega + z' \sin \omega$$

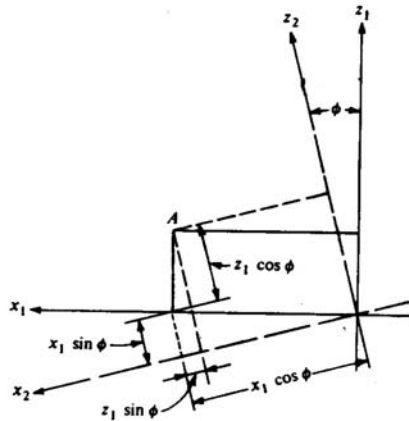
$$z_1 = -y' \sin \omega + z' \cos \omega$$



<http://homes.dsi.unimi.it/~borghese> 18/58



## II) Rotazione attorno all'asse y (pitch)



$$x_2 = x_1 \cos \phi + z_1 \sin \phi$$

$$y_2 = y_1$$

$$z_2 = -x_1 \sin \phi + z_1 \cos \phi$$

$$x_2 = x' \cos \phi + (-y' \sin \omega + z' \cos \omega) \sin \phi$$

$$y_2 = y' \cos \omega + z' \sin \omega$$

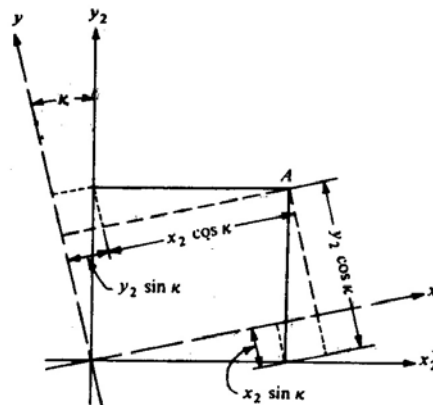
$$z_2 = -x' \sin \phi + (-y' \sin \omega + z' \cos \omega) \cos \phi$$

By N.A. Borghese Università di Milano 19/03/2003

<http://homes.dsi.unimi.it/~borghese> 19/58



## III) Rotazione attorno all'asse z (yaw)



$$x_3 = x_2 \cos k + y_2 \sin k$$

$$y_3 = -x_2 \sin k + y_2 \cos k$$

$$z_3 = z_2$$

$$x_3 = [x' \cos \phi + (-y' \sin \omega + z' \cos \omega) \sin \phi] \cos k + [y' \cos \omega + z' \sin \omega] \sin k$$

$$y_3 = -[x' \cos \phi + (-y' \sin \omega + z' \cos \omega) \sin \phi] \sin k + [y' \cos \omega + z' \sin \omega] \cos k$$

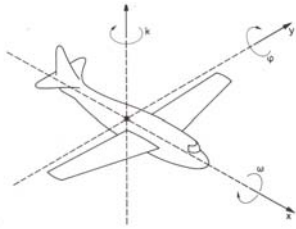
$$z_3 = -x' \sin \phi + (-y' \sin \omega + z' \cos \omega) \cos \phi$$

By N.A. Borghese Università di Milano 19/03/2003

<http://homes.dsi.unimi.it/~borghese> 20/58



## Dalle rotazioni alla matrice di rotazione

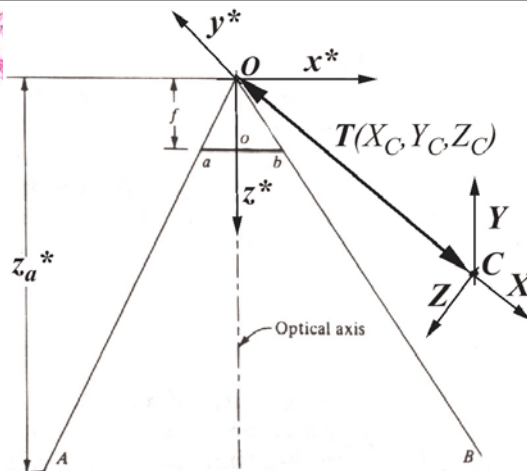


Come è legata R alle tre rotazioni indipendenti?

$$\mathbf{R} = \begin{bmatrix} \cos(\varphi)\cos(k) & -\cos(\varphi)\sin(k) & -\sin(\varphi) \\ \cos(w)\sin(k) - \sin(w)\sin(\varphi)\cos(k) & \cos(w)\cos(k) + \sin(w)\sin(\varphi)\sin(k) & -\sin(w)\cos(\varphi) \\ \sin(w)\sin(k) + \cos(w)\sin(\varphi)\cos(k) & \sin(w)\cos(k) - \cos(w)\sin(\varphi)\sin(k) & \cos(w)\cos(\varphi) \end{bmatrix}$$

Si ricava eseguendo le rotazioni sequenziali. Ogni rotazione tiene fermo un asse e agisce sul piano perpendicolare.

Rotazioni “*semplici*” utilizzate dai programmi di animazione, gestione matriciale *efficiente* del calcolo.



## La Rotazione 3D

$$\begin{aligned}
 x_A^* &= X_A \cos(\alpha) + Y_A \cos(\beta) + Z_A \cos(\gamma) \\
 y_A^* &= X_A \sin(\alpha) + Y_A \sin(\beta) + Z_A \sin(\gamma) \\
 z_A^* &= X_A \cos(\alpha) + Y_A \cos(\beta) + Z_A \cos(\gamma)
 \end{aligned}$$

In forma compatta:  $\mathbf{p}^* = \mathbf{R} \mathbf{P}$



# I quaternioni



- la rotazione di un vettore  $\mathbf{r}$  di un angolo si può esprimere con un operatore chiamato quaternione, caratterizzato da 4 numeri reali
- abbiamo 4 gradi di libertà invece dei 9 elementi della matrice
- useremo quaternioni *unitari*
- i quaternioni possono essere considerati come una generalizzazione dei numeri complessi, con uno scalare  $s$  come parte reale e un vettore  $\mathbf{v}$  come parte immaginaria



- denotiamo un quaternione con:
$$q = s + xi + yj + zk$$
dove  $\mathbf{i}, \mathbf{j}, \mathbf{k}$  sono i quaternioni unitari ed equivalgono ai vettori unitari degli assi in un sistema vettoriale e hanno le proprietà:
$$\mathbf{i}^2 = \mathbf{j}^2 = \mathbf{k}^2 = \mathbf{ijk} = -1; \mathbf{ij} = \mathbf{k}; \mathbf{ji} = -\mathbf{k}$$
- da queste proprietà ricaviamo le operazioni somma e moltiplicazione



## Operazioni sui quaternioni



- somma:

$$q+q'=(s+s', \mathbf{v}+\mathbf{v}')$$

- moltiplicazione:

$$qq'=(ss'-\mathbf{v}\mathbf{v}', \mathbf{v}\times\mathbf{v}'+s\mathbf{v}'+s'\mathbf{v})$$

- coniugato:

$$q=(s, \mathbf{v}) \quad q^*=(s, -\mathbf{v})$$

- il prodotto di un quaternione con il suo coniugato dà il modulo del quaternione:

$$qq^*=(ss-|\mathbf{v}|^2)=q^2$$



- quaternioni della forma:  $q=(s, (0, 0, 0))$  sono associati ai numeri reali

- quaternioni della forma:  $q=(s, (a, 0, 0))$  sono associati ai numeri complessi

- negazione:

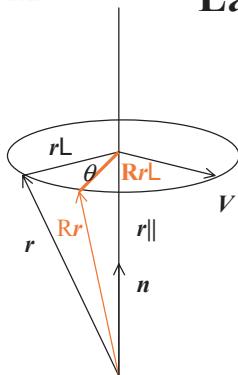
$$\text{dato } q=(s, \mathbf{v}) \text{ si ha } -q=(-s, -\mathbf{v})$$



- Se  $|q|=1$  il quaternione è detto *unitario*
- L'insieme dei quaternioni unitari forma una sfera in uno spazio a 4 dimensioni
- Si può dimostrare che se  $q=(s, \mathbf{v})$  allora esiste un vettore  $\mathbf{v}'$  e un numero  $-\pi < \theta < \pi$  tale che:  $q=(\cos \theta, \mathbf{v}' \sin \theta)$
- Se  $q$  è unitario allora  $q=(\cos \theta, \sin \theta \mathbf{n})$  con  $\mathbf{n}$  unitario.
- i quaternioni non sono commutativi rispetto al prodotto



## La rotazione con quaternioni



- $\mathbf{r}$  è definito dal quaternione  $p=(0, \mathbf{r})$
- definiamo l'operatore  $R_q=q(\cdot)q^{-1}$  con  $q$  quaternione unitario  $(s, \mathbf{v})$
- applicato a  $p$  l'operatore dà:  $qpq^{-1}$
- in forma esplicita:
- $R_q(p)=(0, (s^2-\mathbf{v}\cdot\mathbf{v})\mathbf{r}+2\mathbf{v}(\mathbf{v}\cdot\mathbf{r})+2s(\mathbf{v}\times\mathbf{r}))$
- ricordando che: se  $q$  è unitario allora  $q=(\cos \theta, \sin \theta \mathbf{n})$  con  $\mathbf{n}$  unitario e sostituendo si ha:

$$R_q(p)=(0, (\cos^2 \theta - \sin^2 \theta)\mathbf{r} + 2 \sin^2 \theta \mathbf{n}(\mathbf{n}\cdot\mathbf{r}) + 2 \cos \theta \sin \theta (\mathbf{n}\times\mathbf{r})) = (0, r \cos 2\theta + (1 - \cos 2\theta) \mathbf{n}(\mathbf{n}\cdot\mathbf{r}) + \sin 2\theta (\mathbf{n}\times\mathbf{r}))$$





- confrontiamo la:  
 $(0, r \cos 2\theta + (1 - \cos 2\theta) \mathbf{n}(\mathbf{n} \cdot \mathbf{r}) + \sin 2\theta (\mathbf{n} \times \mathbf{r}))$
- con l'equazione ricavata prima:  
 $(\cos \theta) \mathbf{r} + (1 - \cos \theta) \mathbf{n}(\mathbf{n} \cdot \mathbf{r}) + (\sin \theta) \mathbf{n} \times \mathbf{r}$
- a meno del coefficiente 2 sono identiche
- la rotazione di un vettore  $\mathbf{r}$  di  $(\theta, \mathbf{n})$  si può quindi attuare:
  - passando allo spazio dei quaternioni
  - rappresentando la rotazione con un quaternione unitario  
 $q = (\cos \theta/2, \sin \theta/2 \mathbf{n})$
  - applicando l'operatore  $q(\cdot)q^{-1}$  al quaternione  $(0, \mathbf{r})$
- la rotazione si parametrizza quindi con i 4 parametri:  $\cos \theta/2, \sin \theta/2 n_x, \sin \theta/2 n_y, \sin \theta/2 n_z$

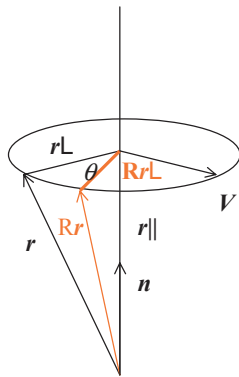


**continua ...**



**un po' di link**

- [http://www.3dgamedev.com/articles/eulers\\_are\\_evil.htm](http://www.3dgamedev.com/articles/eulers_are_evil.htm)
- <http://www.gamedev.net/reference/articles/article1095.asp>
- keyword per ricerca in rete: quaternion, euler angle



il vettore  $r$  può essere scomposto in una componente parallela a  $n$  e in una ortogonale:

$$r_{\parallel} = (n \cdot r) \times n$$

$$r_{\perp} = r - (n \cdot r) \times n$$

la componente  $\parallel$  resta invariata nella rotazione, varia solo la componente  $\perp$  (rossa).  $V$  sia ortogonale a  $r_{\perp}$ :

$V = n \times r_{\perp} = n \times r$  da cui il vettore ruotato (rosso) espresso in funzione di  $V$ :

$$Rr_{\perp} = (\cos \theta)r_{\perp} + (\sin \theta)V$$

da cui:

$$Rr = Rr_{\parallel} + Rr_{\perp}$$

$$= Rr_{\parallel} + (\cos \theta)r_{\perp} + (\sin \theta)V$$

$$= n \cdot r \times n + (\cos \theta)(r - n \cdot r \times n) + (\sin \theta)n \times r$$

$$= (\cos \theta)r + (1 - \cos \theta)n(n \cdot r) + (\sin \theta)n \times r$$



## ancora un esempio



- ruotiamo un oggetto di  $180^\circ$  attorno all'asse  $x$  con la sequenza di rotazioni  $R(0,0,0), \dots, R(\pi t, 0, 0), \dots, R(\pi, 0, 0)$  con  $0 \leq t \leq 1$
- la seconda sequenza ruota attorno  $y, z$ :  $R(0, 0, 0), \dots, R(0, \pi t, \pi t), \dots, R(0, \pi, \pi)$
- la posizione finale e' identica, ma l'oggetto "twista" nella seconda
- occorre controllare i 3 angoli di Eulero per governare la sequenza desiderata
- da qui l'uso dei quaternioni





## con i quaternioni



- la rotazione ottenuta con la sequenza  $R(0,0,0), \dots, R(\pi,0,0), \dots, R(\pi,0,0)$  è rappresentata dal quaternion  $(\cos(\pi/2), \sin(\pi/2)(1,0,0)) = (0, (1,0,0))$
- la rotazione ottenuta con la sequenza  $R(0,0,0), \dots, R(0, \pi, \pi), \dots, R(0, \pi, \pi)$  è rappresentata dal prodotto dei due quaternioni  $(0, (0,1,0))(0, (0,0,1)) = (0, (1,0,0))$
- Il risultato è uguale



## La Rototraslazione 3D



**Traslazione:** 3 componenti:  $T(X_C, Y_C, Z_C)$ .

**Rotazione:** 3 componenti:  $R(\omega, \phi, k)$ .

Matrice di rotazione con  $\omega, \phi, k$ , è:

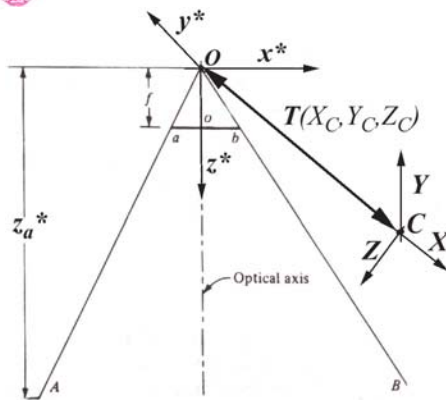
$$R \begin{bmatrix} \cos(\phi)\cos(k) & -\cos(\phi)\sin(k) & -\sin(k) \\ \cos(\omega)\sin(k) - \sin(\omega)\sin(\phi)\cos(k) & \cos(\omega)\cos(k) + \sin(\omega)\sin(\phi)\sin(k) & -\sin(\omega)\cos(\phi) \\ \sin(\omega)\sin(k) + \cos(\omega)\sin(\phi)\cos(k) & \sin(\omega)\cos(k) - \cos(\omega)\sin(\phi)\sin(k) & \cos(\omega)\cos(\phi) \end{bmatrix}$$

In forma compatta:  $\mathbf{p}^* = \mathbf{R}(\mathbf{P} - \mathbf{T})$

I parametri esterni sono perciò 6.



## Dal 3D al 2D



$$a(x_a; y_a; z_a) \rightarrow \begin{aligned} x_a - x_p &= x^*_A f / z^*_A \\ y_a - y_p &= y^*_A f / z^*_A \\ z_a &= f \end{aligned}$$

$$P_A^* = R (P_A - T)$$

$$A(X_A, Y_A, Z_A) \Rightarrow A(x^*_a, y^*_a, z^*_a) \Rightarrow a(x_a, y_a, f).$$



## Equazioni di collinearità



$$x^*_A = r_{11}(X_A - X_C) + r_{12}(Y_A - Y_C) + r_{13}(Z_A - Z_C)$$

$$y^*_A = r_{21}(X_A - X_C) + r_{22}(Y_A - Y_C) + r_{23}(Z_A - Z_C)$$

$$z^*_A = r_{31}(X_A - X_C) + r_{32}(Y_A - Y_C) + r_{33}(Z_A - Z_C)$$

$$x_a - x_p = x^*_A f / z^*_A = f \frac{r_{11}(X_A - X_C) + r_{12}(Y_A - Y_C) + r_{13}(Z_A - Z_C)}{r_{31}(X_A - X_C) + r_{32}(Y_A - Y_C) + r_{33}(Z_A - Z_C)}$$

$$y_a - y_p = y^*_A f / z^*_A = f \frac{r_{21}(X_A - X_C) + r_{22}(Y_A - Y_C) + r_{23}(Z_A - Z_C)}{r_{31}(X_A - X_C) + r_{32}(Y_A - Y_C) + r_{33}(Z_A - Z_C)}$$

**Complessivamente 9 parametri.**





## La calibrazione



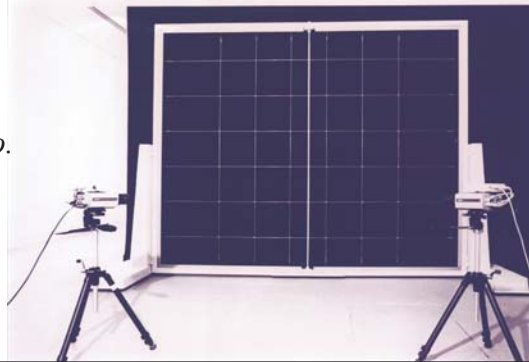
Determinazione dei parametri della trasformazione prospettica:

- Parametri interni:  $x_o, y_o, f$ .
- Parametri esterni:  $X_C, Y_C, Z_C, m_{ij}(\omega, \phi, k)$ .

A partire dalle coppie:

- Punti 3D:  $\{P(X, Y, Z)\}$
- Proiezioni sul piano immagine:  $\{p(x, y)\}$

*I punti devono essere disposti all'interno del volume di lavoro.*



By N.A. Borghese Università di Milano 19/03/2003



## Calibrazione con punti di coordinate note (I)



Per ogni punto,  $[p_k(x_k, y_k) \ P_k(X_k, Y_k, Z_k)]$ :

$$x_k = x_o + f \frac{m_{11}(X_k - X_C) + m_{12}(Y_k - Y_C) + m_{13}(Z_k - Z_C)}{m_{31}(X_k - X_C) + m_{32}(Y_k - Y_C) + m_{33}(Z_k - Z_C)}$$

$$y_k = y_o + f \frac{m_{21}(X_k - X_C) + m_{22}(Y_k - Y_C) + m_{23}(Z_k - Z_C)}{m_{31}(X_k - X_C) + m_{32}(Y_k - Y_C) + m_{33}(Z_k - Z_C)}$$

- *Riscrivo le equazioni di collinearità:*

$$x_k = F(X_k, Y_k, Z_k \mid X_C, Y_C, Z_C, m_{ij}(\omega, \phi, k), f, x_o)$$

$$y_k = G(X_k, Y_k, Z_k \mid X_C, Y_C, Z_C, m_{ij}(\omega, \phi, k), f, y_o)$$

*Definisco residuo la quantità:*

$$\Delta x_k = F(X_k, Y_k, Z_k \mid X_C, Y_C, Z_C, m_{ij}(\omega, \phi, k), f, x_o) - x_k$$

$$\Delta y_k = G(X_k, Y_k, Z_k \mid X_C, Y_C, Z_C, m_{ij}(\omega, \phi, k), f, y_o) - y_k$$

*Chiamo:  $S(X_C, Y_C, Z_C, m_{ij}(\omega, \phi, k), f, x_o, y_o)$  l'insieme dei parametri:*

$$\text{Minimizzo: } \min_S \sum_{k=1}^M [(x_k - F(X_k, Y_k, Z_k \mid \dots))^2 + (y_k - G(X_k, Y_k, Z_k \mid \dots))^2] = \min_S \sum_{k=1}^M [\Delta x_k^2 + \Delta y_k^2]$$

By N.A. Borghese Università di Milano 19/03/2003

<http://homes.dsi.unimi.it/~borghese> 40/58



## Calibrazione con punti di coordinate note (II)



*Stima iterativa (gradiente discendente):*

Sviluppo in serie di Taylor + Stima ai minimi quadrati.

### 1) Sviluppo in serie di Taylor.

*Partiamo da un valore iniziale dei parametri:*

$$S^l(X_C^l, Y_C^l, Z_C^l, m_{ij}(\omega, \phi^l, k^l), f^l, x_o^l, y_o^l).$$

$$\text{Per ogni punto } p_k: F(X_k, Y_k, Z_k | S^l) = x_k + \Delta x_k; G(X_k, Y_k, Z_k | S^l) = y_k + \Delta y_k$$

$\Delta x_k$ ;  $\Delta y_k$  indicano che quando proietto il punto  $P(X_k, Y_k, Z_k)$  di coordinate note non ottengo  $p(x_k, y_k)$  ma un punto spostato di  $\Delta x_k$ ,  $\Delta y_k$  se i parametri non sono ancora quello corretti.

*Quando i parametri sono stati determinati correttamente otterrò:*

$$dX_C = dY_C = dZ_C = d\omega_C = d\phi_C = d\kappa_C = df = dx_o = dy_o = 0.$$

$$\Delta x_k = \Delta y_k = 0. \quad \forall k$$



## Calibrazione con punti di coordinate note (III)



**Caso Reale.** *Non misuriamo esattamente  $x$ ,  $y$ , ma  $x + v_x$ ;  $y + v_y$ :*

$$x + v_x = x_o + f \frac{m_{11}(X-X_C) + m_{12}(Y-Y_C) + m_{13}(Z-Z_C)}{m_{31}(X-X_C) + m_{32}(Y-Y_C) + m_{33}(Z-Z_C)}$$

$$y + v_y = y_o + f \frac{m_{21}(X-X_C) + m_{22}(Y-Y_C) + m_{23}(Z-Z_C)}{m_{31}(X-X_C) + m_{32}(Y-Y_C) + m_{33}(Z-Z_C)}$$

***E quindi lo sviluppo in serie di Taylor sarà:***

$$\Delta x_k = F(X_k, Y_k, Z_k | X_C, Y_C, Z_C, m_{ij}(\omega, \phi, k), f, x_o) - x_k + v_{xk}$$

$$\Delta y_k = G(X_k, Y_k, Z_k | X_C, Y_C, Z_C, m_{ij}(\omega, \phi, k), f, y_o) - y_k + v_{yk}$$

*Quando i parametri sono stati determinati correttamente otterrò:*

$$dX_C = dY_C = dZ_C = d\omega_C = d\phi_C = d\kappa_C = df = dx_o = dy_o = 0.$$

$$\Delta x_k = v_{xk} \text{ e } \Delta y_k = v_{yk} \quad \forall k$$

***Stima ai minimi quadrati.***

$$\min_S \sum_{k=1}^M [\Delta x_k^2 + \Delta y_k^2]$$



## Calibrazione con punti di coordinate note (IV)



Al passo  $j$  della stima risulta per ogni punto,  $p_k$ :

$$v_{xk} + F(X_k, Y_k, Z_k | S_j) = a_{1k} dX_c + a_{2k} dY_c + a_{3k} dZ_c + a_{4k} d\omega_c + a_{5k} d\phi_c + a_{6k} d\kappa_c + a_{7k} df + dx_o$$

$$v_{yk} + G(X_k, Y_k, Z_k | S_j) = b_{1k} dX_c + b_{2k} dY_c + b_{3k} dZ_c + b_{4k} d\omega_c + b_{5k} d\phi_c + b_{6k} d\kappa_c + b_{7k} df + dy_o$$

In forma matriciale:  $R + B = AX$

Dimensioni:

$$B = [2P \times 1] \quad R = [2P \times 1]$$

$$A = [2P \times 9]$$

$$X = [9 \times 1]$$

Soluzione mediante stima ai minimi quadrati:

$$X = (A^T A)^{-1} A^T B \quad (\text{svd})$$

**Soluzione iterativa:**  $S_j^{i+1} = S_j^i + dS$

fino a che  $dS \approx 0$



## Bundle adjustment



**Regolazione del fascio (rette retro-proiettate) via minimizzazione dell'errore di retro-proiezione.**

**Approccio più generale nel quale si considerano anche punti in posizione non nota.**

**Ciascuna proiezione genera 2 equazioni, 2 video-camere: 4 equazioni, M camere, 2\*M equazioni.**

**Ogni punto 3D di coordinate non note sono 3 incognite aggiuntive.**

**Perché il sistema sia risolubile occorre avere almeno N punti 3D:**

$$2 * M * N = 3 * N + 9 \rightarrow N = 9 / (2M - 3), \text{ almeno } 9 \text{ punti con } 2 \text{ camere.}$$

**NB Si tralasciano le distorsioni.**



## Le matrici affini

$$\mathbf{P}' = \mathbf{R}\mathbf{P} + \mathbf{T} \Rightarrow \mathbf{P}' = \mathbf{A}\mathbf{P}$$

$$\mathbf{R}^T\mathbf{R}\mathbf{P} = \mathbf{R}^T\mathbf{P}' - \mathbf{R}^T\mathbf{T} \Rightarrow \mathbf{P} = \mathbf{A}^{-1}\mathbf{P}'$$

Proiezione di  $\mathbf{T}$  sugli assi di arrivo:  $\mathbf{r}_i \cdot \mathbf{T}$

$$\begin{bmatrix} X_P \\ Y_P \\ Z_P \\ 1 \end{bmatrix} = \begin{bmatrix} r_{11} & r_{21} & r_{31} \\ r_{12} & r_{22} & r_{32} \\ r_{13} & r_{23} & r_{33} \\ 0 & 0 & 0 \end{bmatrix} \begin{bmatrix} r_{11}T_x + r_{21}T_y + r_{31}T_z \\ r_{12}T_x + r_{22}T_y + r_{32}T_z \\ r_{13}T_x + r_{23}T_y + r_{33}T_z \\ 1 \end{bmatrix} \begin{bmatrix} X'_P \\ Y'_P \\ Z'_P \\ 1 \end{bmatrix}$$

Matrice di rotazione (inversa)

Vettore di traslazione (inverso)



## Formulazione matriciale della proiezione

$$\mathbf{K} = \begin{bmatrix} -f & 0 & x_c \\ 0 & -f & y_c \\ 0 & 0 & 1 \end{bmatrix}$$

$$\mathbf{D} = \begin{bmatrix} \mathbf{R} & -\mathbf{R}\mathbf{T} \\ \mathbf{0} & 1 \end{bmatrix}$$

$$\mathbf{H} = \begin{bmatrix} 1 & 0 & 0 & 0 \\ 0 & 1 & 0 & 0 \\ 0 & 0 & 1 & 0 \end{bmatrix} \quad \mathbf{p} \begin{bmatrix} x_a / f \\ y_a / f \end{bmatrix} \Rightarrow \begin{bmatrix} x_a \\ y_a \\ f \end{bmatrix} = \mathbf{KHDP} \begin{bmatrix} X_A \\ Y_A \\ Z_A \\ 1 \end{bmatrix}$$

Fattorizzazione dei parametri interni ed esterni.  
Coordinate omogenee per la rappresentazione dei punti.

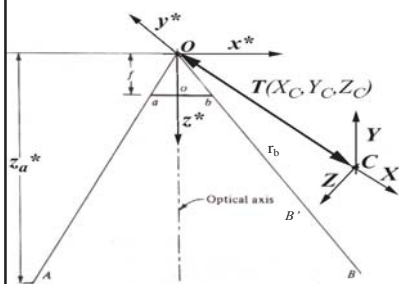


# Dal 2D al 3D

## ray - intersection



# Dal 2D al 3D



Nello spazio 3D esistono  $\infty^1$  punti compatibili con  $p_b$

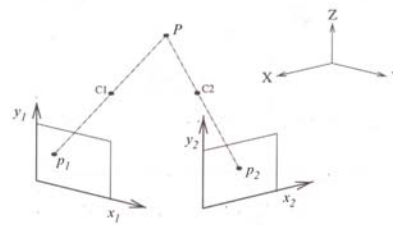




Figura 2.6 Il problema della ricostruzione 3D.

Soluzione: Stereoscopia

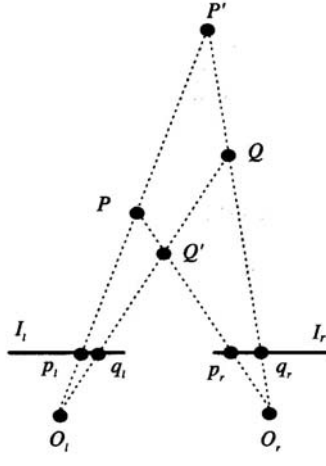




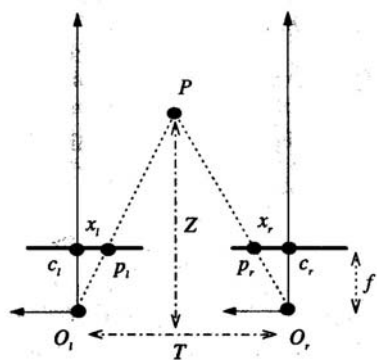
## 3D basato su stereo-disparità



- $O_l - O_r = \text{baseline}$
- $x_l - x_r = \text{stereo disparità}$



(a)




(b)

$$T / Z = d / f$$


By N.A. Borghese Università di Milano 19/03/2003

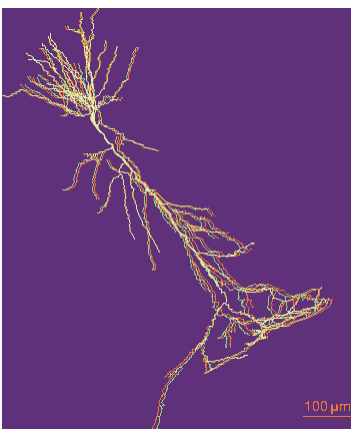
<http://homes.dsi.unimi.it/~borghese>

49/58

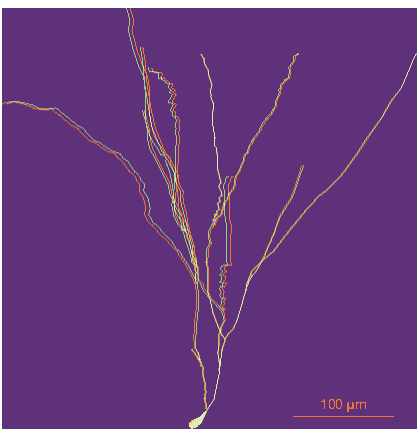


## Il neurone (stereo)





Neurone piramidale CA1  
Ippocampo



Neurone granulare  
Ippocampo

By N.A. Borghese Università di Milano 19/03/2003

<http://homes.dsi.unimi.it/~borghese>

50/58



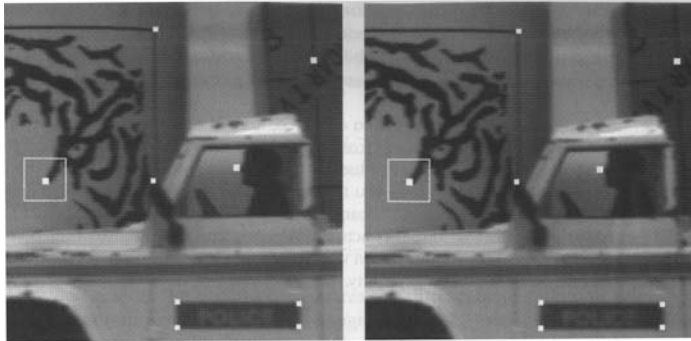
# Problemi



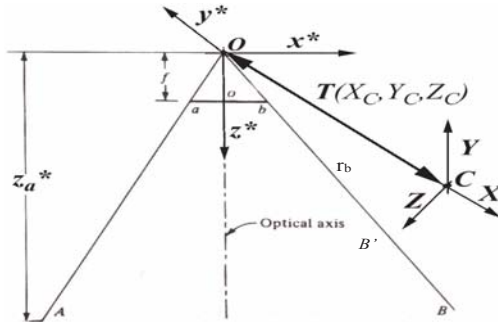
- Corrispondenza.
- Ricostruzione posizione 3D.
- Classificazione.

Low-level processing

High-level processing



# Dal 2D al 3D



Invertiamo le  
Equazioni di collinearità  
 $P(X, Y, Z) \Rightarrow p(x, y, f)$   
 ----->  
 $p(x, y, f) \Rightarrow P(X, Y, Z)$

$$x_a = x_0 + f * \frac{m_{11}(X - X_C) + m_{12}(Y - Y_C) + m_{13}(Z - Z_C)}{m_{31}(X - X_C) + m_{32}(Y - Y_C) + m_{33}(Z - Z_C)}$$

$$y_a = y_0 + f * \frac{m_{21}(X - X_C) + m_{22}(Y - Y_C) + m_{23}(Z - Z_C)}{m_{31}(X - X_C) + m_{32}(Y - Y_C) + m_{33}(Z - Z_C)}$$

$$z_a = f$$



## Dal 2D al 3D



- Equazioni inverse  $p(x, y, f) \Rightarrow P(X, Y, Z)$

$$[m_{31}(X - X_C) + m_{32}(Y - Y_C) + m_{33}(Z - Z_C)] * (x_a - x_0) = f[m_{11}(X - X_C) + m_{12}(Y - Y_C) + m_{13}(Z - Z_C)]$$

$$[m_{31}(X - X_C) + m_{32}(Y - Y_C) + m_{33}(Z - Z_C)] * (y_a - y_0) = f[m_{21}(X - X_C) + m_{22}(Y - Y_C) + m_{23}(Z - Z_C)]$$

Sono equazioni lineari in  $X, Y, Z$ :

- $[m_{31}(x_a - x_0) - fm_{11}] X + [m_{32}(x_a - x_0) - fm_{12}] Y + [m_{33}(x_a - x_0) - fm_{13}] Z = [m_{31}(x_a - x_0) - fm_{11}] X_C + [m_{32}(x_a - x_0) - fm_{12}] Y_C + [m_{33}(x_a - x_0) - fm_{13}] Z_C$
- $[m_{31}(y_a - y_0) - fm_{21}] X + [m_{32}(y_a - y_0) - fm_{22}] Y + [m_{33}(y_a - y_0) - fm_{23}] Z = [m_{31}(y_a - y_0) - fm_{21}] X_C + [m_{32}(y_a - y_0) - fm_{22}] Y_C + [m_{33}(y_a - y_0) - fm_{23}] Z_C$

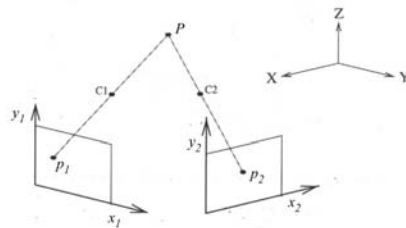
Identificano due piani:

- $a_1 X + b_1 Y + c_1 Z = d_1$  // asse y
- $a_2 X + b_2 Y + c_2 Z = d_2$  // asse x

Intersezione di due piani individua una retta nello spazio 3D (raggio della video-camera, camera ray). Retta per il punto sul piano immagine ed il centro di prospettiva.



## Ricostruzione stereoscopica



$$\{p_1(x, y) \Leftrightarrow p_2(x, y)\}$$

$$[p_1(xy) | p_2(xy)] \Rightarrow P(XYZ).$$

Figura 2.6 Il problema della ricostruzione 3D.

**Equazioni di collinearità per due video-camere:**

- $a_{1TV1} X + b_{1TV1} Y + c_{1TV1} Z = d_{1TV1}$
- $a_{2TV1} X + b_{2TV1} Y + c_{2TV1} Z = d_{2TV1}$

- $a_{1TV2} X + b_{1TV2} Y + c_{1TV2} Z = d_{1TV2}$
- $a_{2TV2} X + b_{2TV2} Y + c_{2TV2} Z = d_{2TV2}$

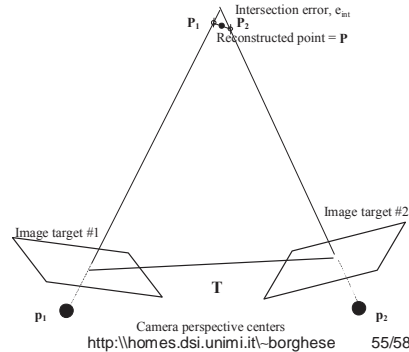


## Ricostruzione - matrici

$$A = \begin{bmatrix} a_{1TV1} & b_{1TV1} & c_{1TV1} \\ a_{2TV1} & b_{2TV1} & c_{2TV1} \\ a_{1TV2} & b_{1TV2} & c_{1TV2} \\ a_{2TV2} & b_{2TV2} & c_{2TV2} \end{bmatrix} \quad B = \begin{bmatrix} d_{1TV1} \\ d_{2TV1} \\ d_{1TV2} \\ d_{2TV2} \end{bmatrix} \quad P = \begin{bmatrix} X \\ Y \\ Z \end{bmatrix}$$

**In forma matriciale:  $A P = B \Rightarrow P = (A^T A)^{-1} A^T B$**

- Effetto dell'errore di misura.
- Quando non ammette soluzioni?



By N.A. Borghese Università di Milano 19/03/2003

<http://homes.dsi.unimi.it/~borghese> 55/58



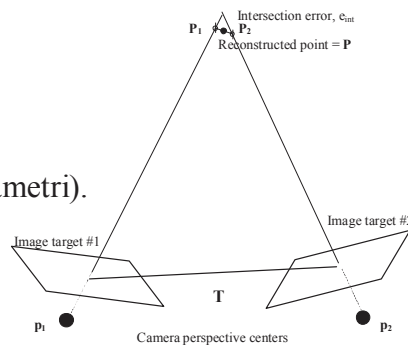
## Ricostruzione - Ray intersection

- *Altra soluzione:* equazioni in forma parametriche delle due rette:

$$\begin{aligned} X_1 &= Xc_1 + a_1 k & X_2 &= Xc_2 + a_2 h \\ Y_1 &= Yc_1 + b_1 k & Y_2 &= Yc_2 + b_2 h \\ Z_1 &= Zc_1 + c_1 k & Z_2 &= Zc_2 + c_2 h \end{aligned}$$

$$\min_{h,k} [(X_1 - X_2)^2 + (Y_1 - Y_2)^2 + (Z_1 - Z_2)^2]$$

- Calcolo della distanza (funzione dei due parametri, h e k);
- Minimizzazione (funzione dei due parametri).

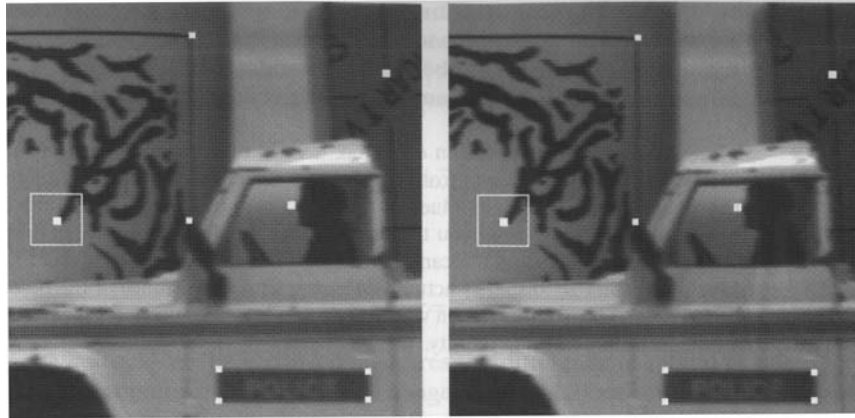


By N.A. Borghese Università di Milano 19/03/2003

<http://homes.dsi.unimi.it/~borghese> 56/58



## Vincolo di intersezione



C.N. per la corrispondenza di punti



## Riassunto



- La trasformazione prospettica (3D  $\rightarrow$  2D) è funzione di nove parametri.
- Lunghezza e punto principale definiscono internamente la camera (parametri interni).
- Rotazione e traslazione definiscono esternamente (rispetto ad un sistema di riferimento preferenziale) la camera (parametri esterni).
- Ricostruzione 3D a partire dall'immagine dello stesso punto ripresa da due punti di vista.
- Calibrazione di una video-camera.